

## بررسی اثر پایدارسازهای آمینوالکلی بر ساختار بلوری، گاف نواری و درخشندگی آبی نانوذرات اکسید روی آلاییده با مس تهیه شده به روش سل-ژل

ابوالفضل پروان، جمال مظلوم<sup>\*</sup>، فرهاد اسمعیلی قدسی، مرتضی صفری

گروه فیزیک، دانشکده علوم پایه، دانشگاه گیلان، رشت، ایران

(دریافت مقاله: ۹۹/۱/۱۹، نسخه نهایی: ۹۹/۵/۲۷)

چکیده: در این پژوهش، نانوذرات اکسید روی آلاییده با مس به روش سل-ژل و با استفاده از پایدارسازهای مختلف مونو، دی و تری-اتانول آمین تهیه شدند. اثر پایدارسازهای مختلف بر ویژگی‌های ساختاری، ریخت شناسی و اپتیکی نانوذرات بررسی شد. بررسی الگوی پراش پرتو X ساختار ششگوشی و رتسایت را برای نمونه‌ها نشان می‌دهد. اندازه بلورک، کرنش، تنش و انرژی تغییر شکل شبکه توسط روابط ویلیامسون-هال اصلاح شده تعیین شدند. نتایج نشان می‌دهند که نمونه‌ی تهیه شده با مونوتانول آمین کمترین اندازه بلورک، پارامتر شبکه و کرنش را دارد. تصاویر میکروسکوپ الکترونی روبشی گسیل میدانی (FESEM) کاهش انباستگی نانوذرات با افزایش گروه آمین را نشان می‌دهد. با افزایش گروه آمین در سل اولیه، جابجایی قرمز در لبه نواری و کاهش شدت درخشندگی آبی نانوذرات دیده شد که با کاهش گاف نواری از ۳/۱۶ به ۳/۱۱ الکترون‌ولت محاسبه شده از طیف بازتاب پخشی و افزایش تنش در شبکه نمونه‌ها همخوانی دارد.

واژه‌های کلیدی: اکسید روی آلاییده با مس؛ نانوذرات، سل-ژل؛ پایدارساز، پارامترهای ساختاری؛ گاف نواری؛ نورتابی.

آلاییده با مس با روش‌های متفاوتی چون فرآیند سل-ژل [۷-۹]، همرسوبی [۱۰]، و گرمابی [۱۱] تهیه شده‌اند. در این میان، روش سل-ژل به علت مزایای گوناگون آن از جمله سادگی، سنتز در دمای پایین، مصرف کم انرژی، بی نیازی به خلا و آلودگی کم در دهه اخیر مورد توجه قرار گرفته است. ویژگی‌های فیزیکی نانوذرات تهیه شده به روش سل-ژل، بسته به ماهیت پیش‌ماده [۱۲]، حلal [۱۳]، عامل شلات ساز [۱۴] و سایر پارامترهای سل-ژل چون pH و گرانزوی سل [۱۵] تغییر می‌کند. در فرآیندهای سل-ژل، عامل‌های شلات‌ساز مانند آمینوالکل‌ها، استیل استون و اسید سیتریک اغلب به منظور تشکیل سل پایدار و جلوگیری از رسوب ذرات در محلول‌ها استفاده می‌شوند. آمینوالکل‌ها ترکیبات آلی دربردارنده دو گروه عاملی آمین و الكل هستند. مونوتانول آمین (MEA) یک ترکیب آلی شامل یک گروه الكل و یک گروه آمین است. این

### مقدمه

اکسید روی (ZnO) یک نیمرسانای نوع n با گاف نواری مستقیم پهن eV ۳/۳۷ در دمای اتاق و پایداری گرمابی و شیمیایی بالاست [۱]. براساس این ویژگی‌های بی‌مانند، اکسید روی یک انتخاب عالی برای کاربردهای مختلف چون دیودهای نور گسیل در نواحی آبی و فرابنفش، الکترودهای شفاف، آشکارسازهای رسانای نوری فرابنفش، سلول‌های خورشیدی، مبدل‌های پیزوالکتریک و حسگرهای گازی است [۱-۳]. ویژگی‌های فیزیکی اکسید روی با آلایش برخی فلزات واسطه به طور قابل توجهی بهبود می‌یابد [۴-۶]. از میان فلزات واسطه، مس (Cu) به دلیل شعاع یونی (Å) ۰,۷۳ نزدیک به Zn<sup>2+</sup> (Å) ۰,۷۴ مناسب‌ترین ساختار پوسته الکترونی مشابه با روی و قیمت کم فلز برای آلایش اکسید روی است. نانوساختارهای اکسید روی

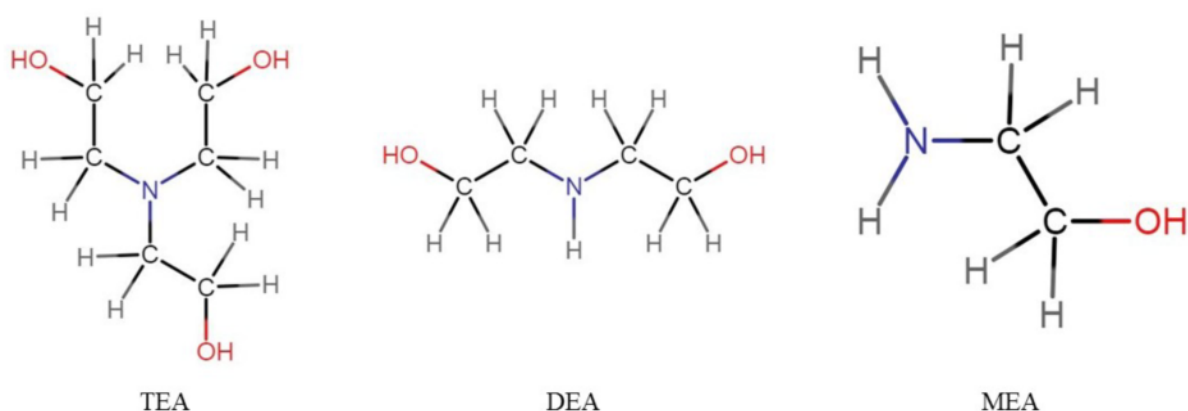
\*نویسنده مسئول، تلفن: ۰۱۳ ۳۳۳۲۳۱۳۲، نامبر: ۰۰۰۶۳۳۳۳۲۰۰، پست الکترونیکی: j.mazloom@guilan.ac.ir

طیف‌سنگی تبدیل فوریه فروسرخ (FTIR)، طیف‌سنگی بازتاب پخشی (DRS) و آزمایش نورتالی (PL) بررسی شد.

#### روش تهیه نانوذرات اکسید روی آلاییده با مس

برای تهیه سل اکسید روی آلاییده با مس، از استات روى دوا به،  $Zn(CH_3COO)_2 \cdot 2H_2O$ ، به عنوان پیش‌ماده اصلی، استات مس تک‌آبه،  $Cu(CH_3COO)_2 \cdot H_2O$ ، برای آلایش و اتانول خالص به عنوان حلال، همچنین از سه پایدارساز متفاوت مونواتanol آمین (MEA)، دی‌اتanol آمین (DEA) و تری‌اتanol آمین (TEA) استفاده شد. همه مواد، از شرکت مرک خردباری شدند. برای تهیه ۳ سل ۰.۶ مولار از اکسید روی آلاییده با ۰.۳٪ مول مس، نخست مقادیر مناسب از استات روى دوا به و استات مس یک‌آبه در ۳۰ ml اتانول حل شده و به مدت یک ساعت روی همزن مغناطیسی قرار گرفتند. پس از آن، پایدارسازها به طور جداگانه به محلول اضافه شده و یک ساعت دیگر در دمای اتاق همزده شدند تا سرانجام، ۳ سل شفاف و همگن به رنگ آبی به دست آمد. سپس، سل‌ها مدت دو ساعت روی همزن مغناطیسی در دمای  $70^{\circ}C$  قرار گرفته تا پس از تبخیر حلال، ژل خیس به دست آید. برای حذف ترکیب‌های اضافی، ژل‌ها با آب مقطر به کمک دستگاه همگن‌ساز فراصوت شستشو شدند. برای جداسازی فاز مایع و جامد از دستگاه سانتریفیوژ استفاده شد. این فرایند شش بار انجام شد. سپس نمونه‌ها در دمای  $120^{\circ}C$  برای دو ساعت خشک‌سازی شدند. در پایان، نمونه‌ها به مدت یک ساعت درون کوره  $500^{\circ}C$  کلیسینه شدند.

ماده از واکنش اکسید اتیلن با آمونیاک مایع تولید می‌شود. مونواتanol آمین ( $NH_2CH_2CH_2OH$ ) نخستین عضو از این خانواده است. با جایگزینی یک اتم هیدروژن در مونواتanol آمین با گروه  $-CH_2CH_2OH$  تشکیل می‌شود، اگر همه اتم‌های هیدروژن در مونواتanol آمین با گروه  $-CH_2CH_2OH$  جایگزین شوند، تری‌اتanol آمین آمین ( $C_6H_{15}NO_3$ ) به دست می‌آید. ساختار آمینوکلکل‌های استفاده شده در شکل ۱ آورده شده است. لیگاند عامل‌های شلات‌ساز از اتم‌های نیتروژن و اکسیژن تشکیل می‌شود. به طور کلی، قدرت همارایی اتم اکسیژن نسبت به اتم نیتروژن بیشتر است. عوامل اصلی استفاده از آمینوکلکل‌ها حل‌پذیری قابل توجه با حلال‌های آلی مانند الکل‌ها، اثر پایدارسازی عالی و کنترل نرخ واکنش‌های آب‌کافت-بس چگالش، هستند [۱۶، ۱۷]. تاکنون پژوهش‌های بسیاری پیرامون ویژگی‌های ساختاری، ریخت‌شناسی، اپتیکی، الکتریکی، مغناطیسی و فوتوكاتالیزوری نانوذرات اکسید روی آلاییده با غلظت‌های مختلف مس تهیه شده با روش‌های متفاوت انجام شده است [۲۰-۲۱]. در این پژوهش، از سه پایدارساز از خانواده آمینوکلکل شامل مونواتanol آمین، دی‌اتanol آمین و تری‌اتanol آمین در تهیه سل برای ساخت نانوذرات اکسید روی آلاییده با مس (۰.۳٪ مول) استفاده شد. اثر تغییر پایدارساز بر ویژگی‌های ساختاری، ریخت‌شناسی و اپتیکی نمونه‌ها با پراش پرتو ایکس (XRD)، میکروسکوپ الکترونی روبشی گسیل میدانی (FESEM)، طیف‌سنگی پراش انرژی پرتو ایکس (EDS)،



شکل ۱ ساختار مولکول فضایی سه پایدارساز.

(TEA) را نشان می‌دهد. چنان که دیده می‌شود، الگوی همه نمونه‌ها با الگوی استاندارد پراش پرتو ایکس اکسید روی با ساختار شش‌گوش ورتسایت (JCPDS No. 79-0206) همخوانی دارند. نمونه تهیه شده با TEA دارای جهت‌گیری ترجیحی در راستای (۰۰۲) است. هیچ فاز ثانویه‌ای از جمله فازهای Cu و CuO دیده نشد افزون بر این، آلایش Cu ساختار ورتسایت اکسید روی را تغییر نداد و این نشان می‌دهد که Cu<sup>2+</sup> در جایگاه‌های Zn<sup>2+</sup> جایگزیده شده است.

اندازه بلورک‌ها با استفاده از رابطه شر براساس یافته‌های پراش پرتو X محاسبه شد (جدول ۱):

$$D = \frac{K\lambda}{\beta \cos\theta} \quad (1)$$

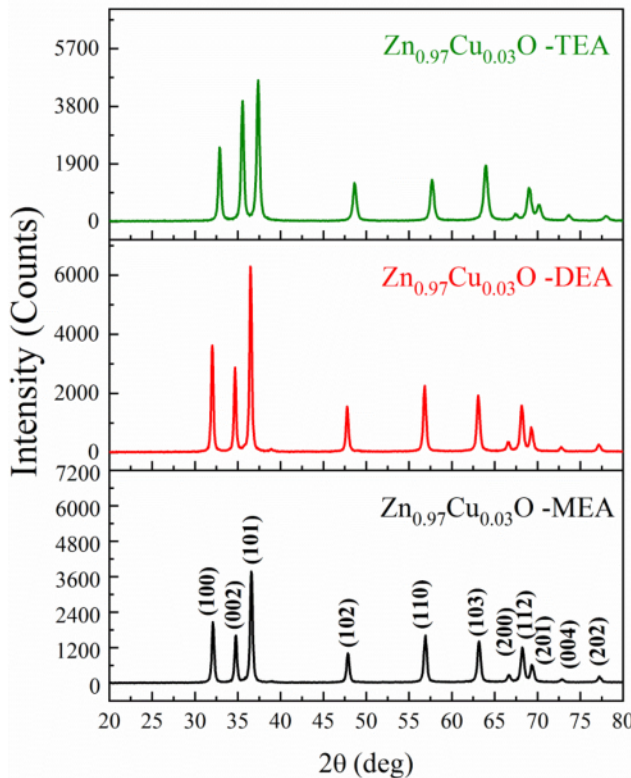
D اندازه میانگین بلورک،  $\beta$  پهنه‌ای قله پراش در نیم ارتفاع بیشینه (FWHM)،  $\lambda$  طول موج پرتو ایکس ( $1,54 \text{ \AA}$ )،  $\theta$  زاویه برآگ مربوط به قله پراش و K ضریب ثابتی است که به شکل بلورک‌ها، توزیع آنها و طول موج بستگی دارد و در این پژوهش مقدار آن  $0.9$  در نظر گرفته شد. با توجه به میانگین اندازه بلورک محاسبه شده برای هر سه نمونه (جدول ۱)، بهترین کیفیت بلوری را نمونه تهیه شده با دیاتانول آمین دارد.

### مشخصه یابی

برای تعیین ساختار بلوری نانوذرات، پراش پرتو ایکس (XRD) به وسیله دستگاه Philips PW1800 با تابش پرتو CuK $\alpha$  با  $\lambda = 0.15406 \text{ nm}$  در دمای اتاق انجام شد. بررسی ریختار سطح نمونه‌ها توسط میکروسکوپ الکترونی روبشی گسیل میدانی (FESEM) با دستگاه Mira3TSCAN XMU (FESEM) با دستگاه (EDS) همراه دستگاه نام برده انجام شد. برای تایید و تشخیص عامل‌های شیمیایی از طیفسنجی تبدیل فوریه فروسرخ (FTIR) با دستگاه Alpha-Bruker (DRS) با دستگاه scinco S-4100 مدل استفاده شد. طیف پخشی (DRS) نمونه‌ها توسط دستگاه Perkin Elmer LS-55 بررسی نورتابی نمونه‌ها توسط دستگاه scinco S-4100 مدل استفاده شد.

### نتایج و بحث

شکل ۲ الگوی پراش پرتو ایکس نانوذرات اکسید روی آلاییده با مس به نسبت مولی ۳٪ تهیه شده با سه پایدارساز مونواتanol آمین (MEA)، دیاتانول آمین (DEA) و تریاتانول آمین (MEA).



شکل ۲ الگوی پراش پرتو ایکس نانوذرات Zn<sub>0.97</sub>Cu<sub>0.03</sub>O تهیه شده با سه پایدارساز متفاوت.

جدول ۱ پارامترهای ساختاری نانوذرات  $Zn_{0.97}Cu_{0.03}O$  تهیه شده با سه پایدارساز مختلف.

c (Å)	a (Å)	(kJm <sup>-3</sup> )	چگالی انرژی (Mpa)	تنش ( $\times 10^{-3}$ )	کرنش همسانگرد (nm)	اندازه بلورک (nm)	اندازه بلورک (nm)	
۵,۵۶۹	۳,۲۱۷	۰,۰۴۹	۱۱۴,۰۱	۰,۸۷۷	۳۰,۸	۲۳,۴	۲۳,۴	MEA
۵,۵۸۲	۳,۲۲۵	۰,۰۹۴	۱۵۷,۱۲	۱,۲۱	۴۰,۱۷	۲۵,۸	۲۵,۸	DEA
۵,۵۸۸	۳,۲۲۸	۰,۲۵۶	۲۵۷,۹۴	۱,۹۸	۳۶,۴۷	۲۰,۰	۲۰,۰	TEA

فیزیکی آنها اثر بگذارد. در مدل کرنش همسانگرد (ISM) ویلیامسون-هال فرض می‌شود که بلور همسانگرد بوده و ویژگی‌های ماده مستقل از راستای بلوری است. از این‌رو، روش W-H ISM با در نظر گرفتن کرنش ناهمسانگرد و مدول یانگ ( $Y_{hkl}$ ) در راستاهای بلوری مختلف اصلاح می‌شود [۲۱]. در مدل کرنش ناهمسانگرد (ASM)، کرنش شبکه با فرض کوچک بودن در همه راستاهای بلورشناسی یکسان در نظر گرفته می‌شود. در W-H ISM یک تناسب خطی بین تنش ( $\sigma$ ) و کرنش ( $\epsilon$ ) وجود دارد که توسط  $\epsilon = Y_{hkl} \sigma$  (قانون هوک) داده می‌شود و بر این اساس رابطه (۲) به صورت زیر اصلاح می‌گردد:

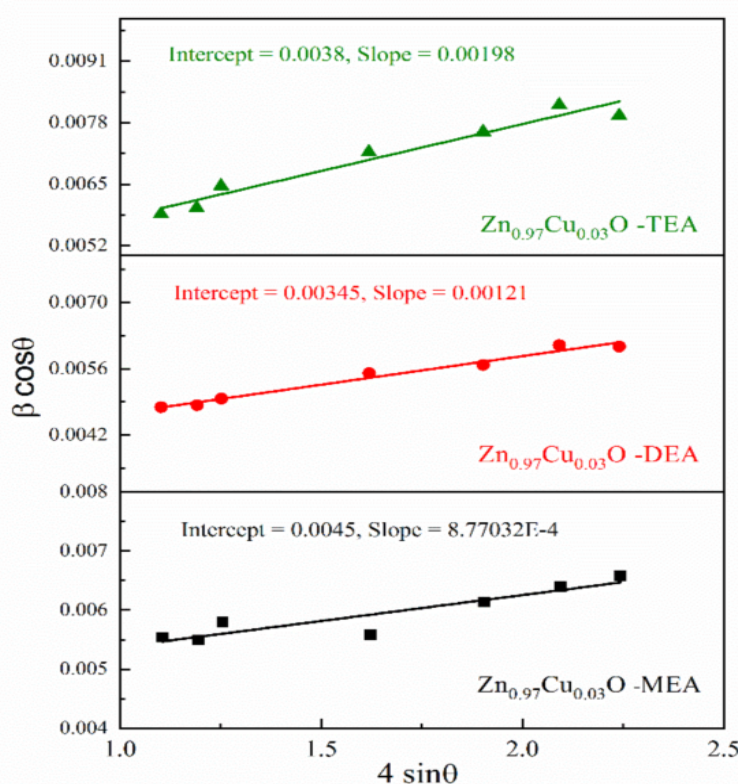
$$\beta_{hkl} \cos \theta_{hkl} = \frac{K\lambda}{D_v} + \frac{4\sigma \sin \theta_{hkl}}{Y_{hkl}} \quad (3)$$

اندازه بلورک‌ها با در نظر گرفتن اثر کرنش و استفاده از رابطه ویلیامسون-هال (W-H) نیز محاسبه شد:

$$\beta \cos \theta = \frac{K\lambda}{D} + 4\epsilon \sin \theta \quad (2)$$

در این رابطه،  $\epsilon$  کرنش، و سایر پارامترها مانند توضیح بالا هستند. با توجه به خطی بودن این رابطه، نمودار  $\beta \cos \theta$  نسبت به  $4\sin \theta$  در زوایای پراش مختلف برای هر سه نمونه، رسم شد (شکل ۳) و با استفاده از شبیب بهترین برازش خطی داده‌ها، کرنش نمونه‌ها و براساس عرض از مبدأ، اندازه بلورک‌ها محاسبه گردید که نتایج در جدول ۱ ارائه شده است. دیده می‌شود که نمونه تهیه شده با مونواتانول آمین دارای کوچک‌ترین اندازه بلورک و کمترین کرنش در شبکه است.

ناهمسانگردی بلوری نانوذرات می‌تواند بر ویژگی‌های



شکل ۳ نمودار کرنش همسانگرد ویلیامسون-هال نانوذرات  $Zn_{0.97}Cu_{0.03}O$  تهیه شده با پایدارسازهای مختلف.

توجه به رابطه چگالی انرژی و کرنش به شکل زیر بازنویسی کرد [۲۱]:

$$\beta_{hkl} \cos \theta_{hkl} = \frac{k\lambda}{D_V} + 4 \sin \theta_{hkl} \left( \frac{2u}{Y_{hkl}} \right)^{1/2} \quad (5)$$

چگالی انرژی و اندازه بلورک به ترتیب از شبیب و عرض از مبدأ نمودار  $\beta \cos \theta$  نسبت به  $(4s \sin \theta) / (2Y)^{1/2}$  در شکل ۴ ب دست آمدند و در جدول ۱ ارائه شده‌اند.

برای ساختار ششگوش، ثابت‌های شبکه (c,a) از رابطه زیر به دست می‌آیند.

$$\frac{1}{d_{hkl}} = \frac{4(h^2 + hk + k^2)}{3a^2} + \frac{l^2}{c^2} \quad (6)$$

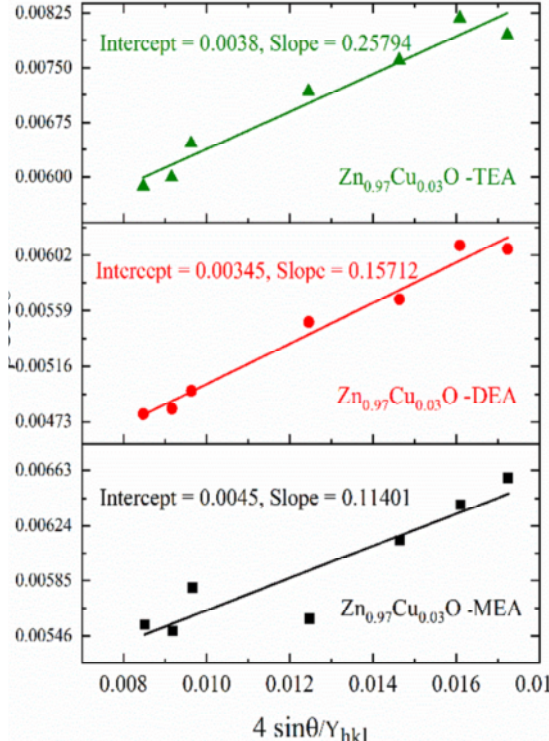
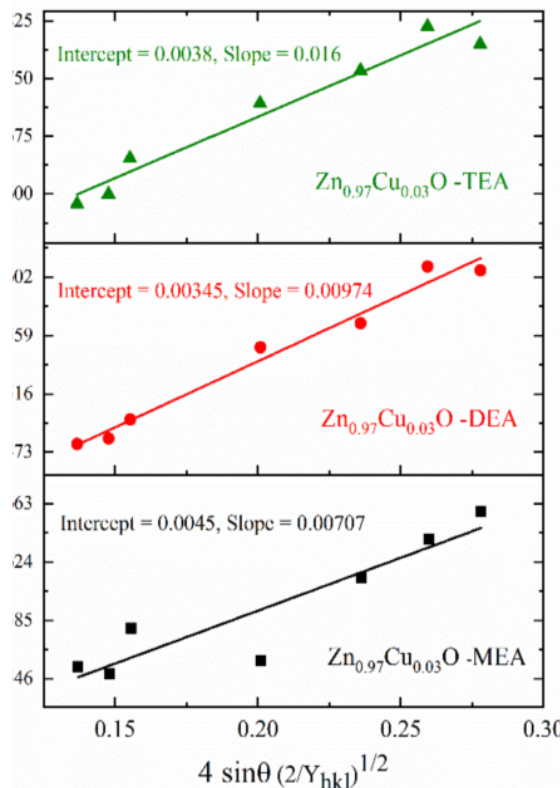
شاخص‌های میلر دسته صفحات و d فاصله میان آنها، هستند. پارامترهای شبکه برای همه نمونه‌ها محاسبه شد و در جدول ۱ آمده است. نتایج نشان می‌دهد که افزایش کرنش به افزایش پارامترهای شبکه a و c کمک کرده و منجر به جهت‌گیری قوی صفحه (۰۰۲) در CZO-TEA نسبت به دو نمونه دیگر می‌شود.

برای ساختار ششگوشی، معکوس مدول یانگ در راستای دلخواه [hkl] را می‌توان با رابطه زیر بیان کرد [۲۱]:

$$Y_{hkl} = \frac{\left[ h^2 + \frac{(h+2k)^2}{3} + \left( \frac{al}{c} \right)^2 \right]^2}{s_{11} \left( h^2 + \frac{(h+2k)^2}{3} \right)^2 + s_{33} \left( \frac{al}{c} \right)^4 + (2s_{13} + s_{44}) \left( h^2 + \frac{(h+2k)^2}{3} \right) \left( \frac{al}{c} \right)^2} \quad (4)$$

مقادیر کرنش ناهمسانگرد ( $\epsilon_{an-iso}$ ) برآورد شده توسط ASM با مقادیر پیشین کرنش همسانگرد ( $\epsilon_{iso}$ ) با توجه به ماهیت ناهمسانگرد مدل یانگ تفاوت دارند. نمودار مربوط به مدل کرنش ناهمسانگرد در شکل ۴ الف نشان داده شده است. تنش (۵) هر نمونه از شبیب منحنی محاسبه و در جدول ۱ گزارش شده است.

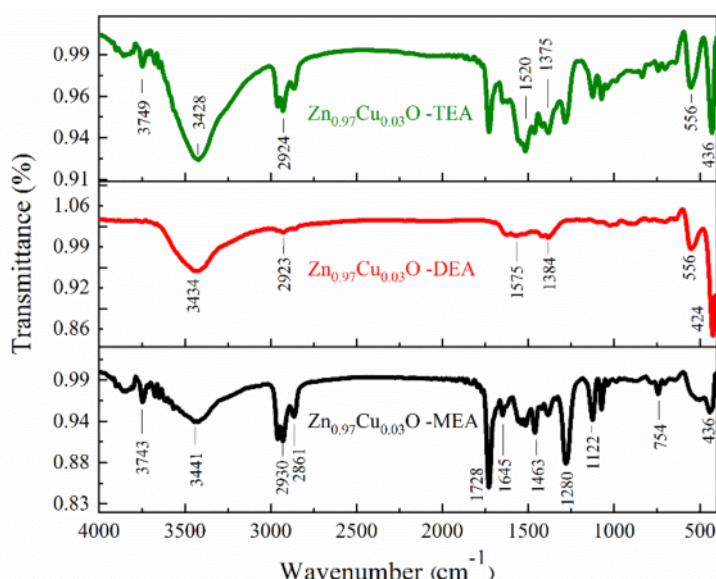
برای تعیین چگالی انرژی تغییر شکل بلور می‌توان از مدل چگالی انرژی تغییر شکل (EDM) استفاده نمود. برای یک سیستم کشسان که از قانون هوک پیروی می‌کند، چگالی انرژی را می‌توان از  $u = \frac{1}{2} \epsilon^2 Y_{hkl}$  محاسبه کرد. بنابراین معادله ویلیامسون- هال کرنش همسانگرد، رابطه (۲)، را می‌توان با



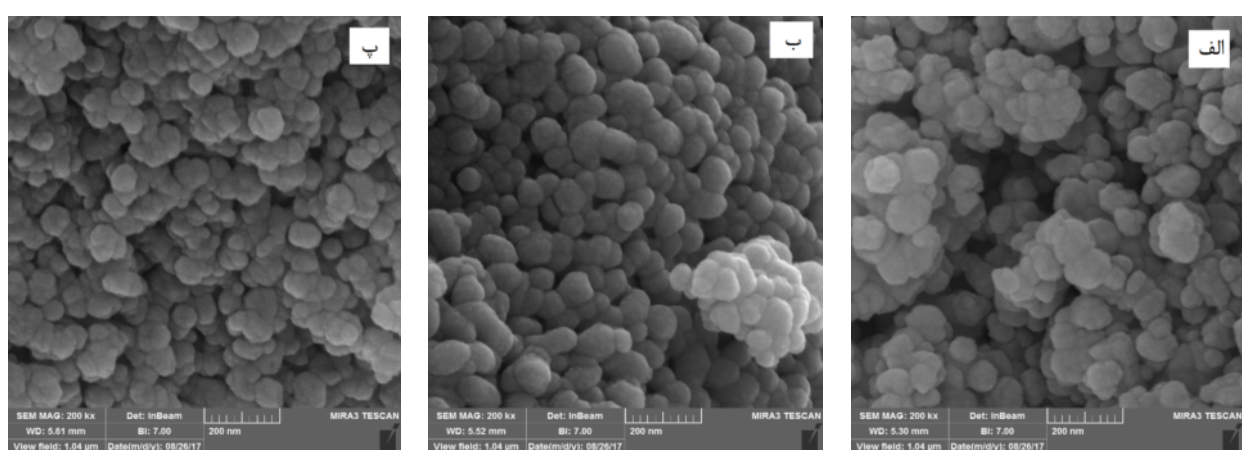
شکل ۴ نمودارهای مدل (الف) کرنش ناهمسانگرد و (ب) چگالی انرژی تغییر شکل همسانگرد ویلیامسون- هال نانوذرات Zn0.97Cu0.03O تهیه شده با پایدارسازهای مختلف.

گستره  $3749\text{-}3428\text{ cm}^{-1}$  مربوط به ارتعاش‌های کششی-O-H ناشی از رطوبت موجود در محیط است [۲۲، ۲۳]. ریختار نانوذرات اکسید روی آلاییده با مس تهیه شده با سه پایدارساز متفاوت، توسط میکروسکوپ الکترونی روبشی گسیل میدانی بررسی شد که تصاویر در شکل ۶ نشان داده شده است. تصاویر نشانگر ذرات اندازه کروی با گستره نانومتر هستند. همچنین با افزایش گروه آمین در سل اولیه، انباستگی نانوذرات کاهش یافته و سطح موثر افزایش می‌یابد. حضور عناصر مختلف در نانوذرات اکسید روی آلاییده با٪ مس تهیه شده با سه پایدارساز مختلف با استفاده از طیف‌سنجی پراش انرژی پرتو ایکس (EDS)، بررسی شد (شکل ۷).

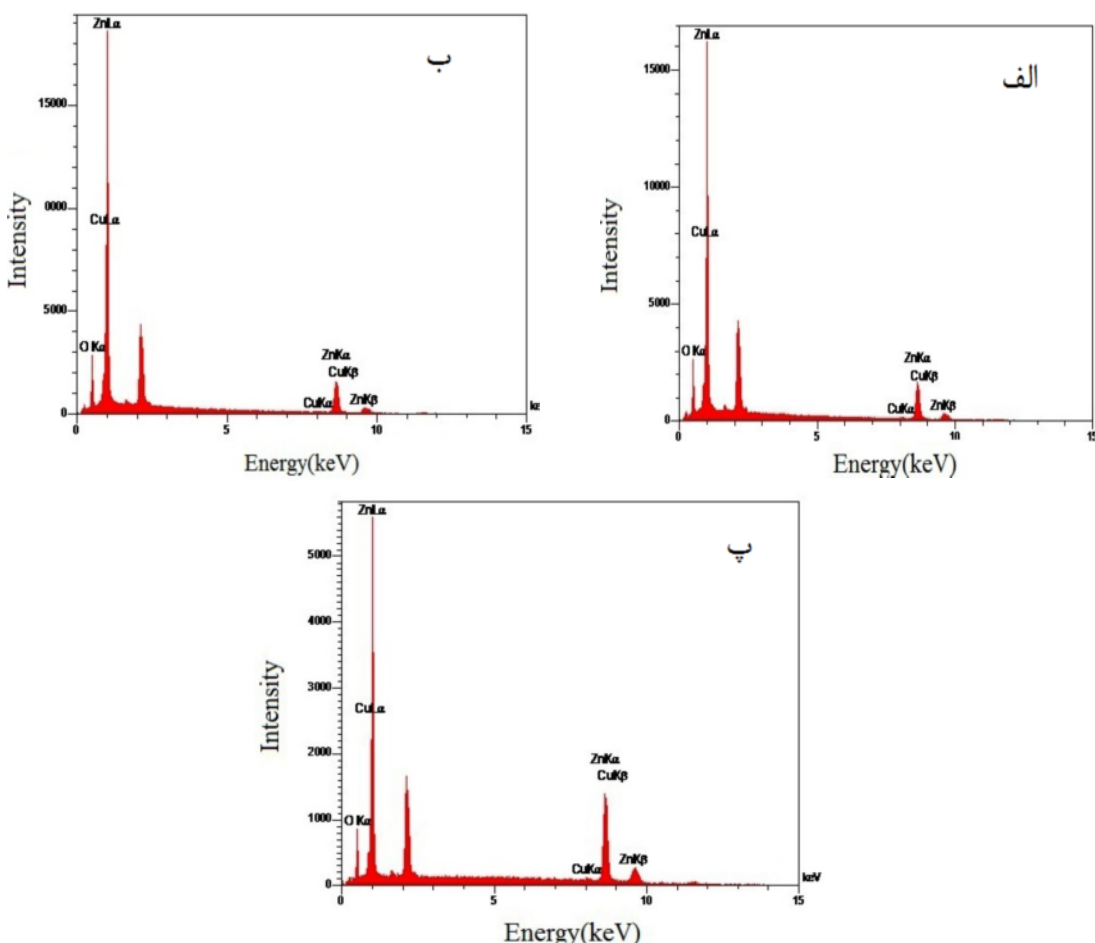
در شکل ۵، طیف FTIR نانوذرات Zn<sub>0.97</sub>Cu<sub>0.03</sub>O نشان داده شده است. شدت و جایگاه قله‌ها در نمونه‌ها با تغییر پایدارسازها تغییر می‌کند. قله‌های موجود در ۴۰۰-۶۰۰ $\text{cm}^{-1}$  مربوط به ارتعاش‌های کششی Zn-O است. قله‌های در ۱۱۲۲ و ۱۲۸۰ $\text{cm}^{-1}$  مربوط به ارتعاش‌های کششی C-O هستند که در نمونه ۱۳۷۵ دیاتanol آمین شدت آن‌ها بسیار کمتر است. قله‌های در ۱۴۶۳ $\text{cm}^{-1}$  به ترتیب مربوط به پیوندهای ارتعاشی C=O-C و C=O هستند. قله موجود در ۱۶۴۵ $\text{cm}^{-1}$  مربوط به ارتعاش-های خمی H-O-H آب موجود در نانوبلور ZnO است. قله در ۱۷۲۸ $\text{cm}^{-1}$  مربوط به پیوند ارتعاشی C=O و قله در ۱۵۷۵ و ۱۳۸۴ $\text{cm}^{-1}$  هستند. قله ۱۳۷۵ مربوط به ارتعاش‌های کششی پیوندهای C-H ناشی از حلal الکلی است. سرانجام، قله‌های موجود در



شکل ۵ طیف FTIR نانوذرات Zn<sub>0.97</sub>Cu<sub>0.03</sub>O تهیه شده با سه پایدارساز مختلف و کلسینه شده در دمای ۵۰۰°C



شکل ۶ تصاویر FESEM نانوذرات Zn<sub>0.97</sub>Cu<sub>0.03</sub>O تهیه شده با پایدارسازهای (الف) مونو، (ب) دی- و (پ) تری- اتانول آمین با بزرگنمایی ۲۰۰ kx



شکل ۷ طیف EDS نانوذرات  $Zn_{0.97}Cu_{0.03}O$  تهیه شده با سه پایدارساز (الف) مونو، (ب) دی- و (پ) تری- اتانول آمین.

جذب قوی و  $A$  مقداری ثابت است. توان  $n$  به نوع گذار بستگی دارد و مقدار  $n = 0.5$  برای گذار مستقیم بین نواری و  $n = 2$  برای گذار غیرمستقیم است [۲۶]. با توجه به گذار مستقیم در اکسید روی، با رسم نمودار  $F(R)/d)^*hv^2$  نسبت به  $hv$  و برونویابی قسمت خطی منحنی (شکل ۸ ب) مقدار گاف نواری هر سه نمونه تعیین شد. کمترین گاف نواری با مقدار  $11/3 eV$  مربوط به نمونه تری- اتانول آمین و بیشترین مقدار  $16/3 eV$  مربوط به نمونه مونواتانول آمین است. کاهش در گاف نواری نمونه‌ها با افزایش گروه آمین را می‌توان به اثر محدودیت کوانتمی، افزایش تنش و بی‌نظمی ساختاری در نمونه‌ها نسبت داد. [۲۷]. نمودار ارتباط بین نوع پایدارساز مورد استفاده در تهیه سل و گاف نواری نانوذرات اکسید روی آلاییده با مس داخل شکل ۸ ب نشان داده است.

شکل ۹ طیف گسیل نورتابی (PL) فوتودرخشدگی نانوذرات اکسید روی آلاییده با مس تهیه شده با پایدارسازهای متفاوت را نشان می‌دهد. این نمونه‌ها در معرض تابش باریکه‌ای

طیف بازتاب پخشی نانو ذرات اکسید روی آلاییده با ۳٪ مس در شکل ۸ الف نشان داده شده است. دیده می‌شود که با تغییر پایدارساز میزان بازتاب پخشی تغییر می‌کند و جابجایی در لبه جذب نمونه‌های تهیه شده به علت بی‌نظمی ساختاری است که دنباله اوریاخ<sup>۱</sup> را در گاف نواری بوجود می‌آورد [۲۴].تابع کوبلکا-مانک<sup>۲</sup> با استفاده از رابطه زیر بر حسب طول موج برای همه نمونه‌ها محاسبه شد [۲۵].

$$F(R) = \frac{(1-R)^2}{2R} \quad (7)$$

که  $R$  طیف بازتاب نمونه‌هاست. گاف نواری با استفاده از رابطه تاواک<sup>۳</sup> محاسبه گردید.

$$\alpha hv = A(hv - E_g)^n \quad (8)$$

در این رابطه،  $hv$  انرژی فوتون،  $\alpha$  ضریب جذب و معادل با ضخامت قرص تهیه شده از نمونه است) در ناحیه  $d$   $F(R)/d$

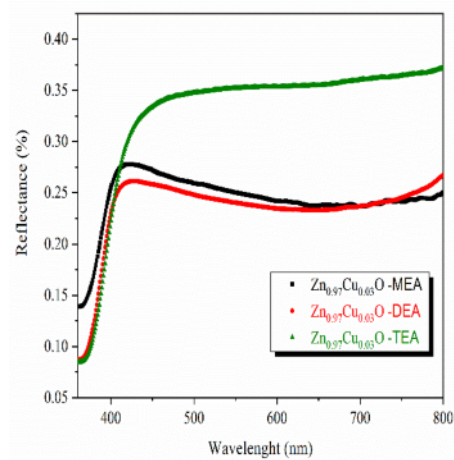
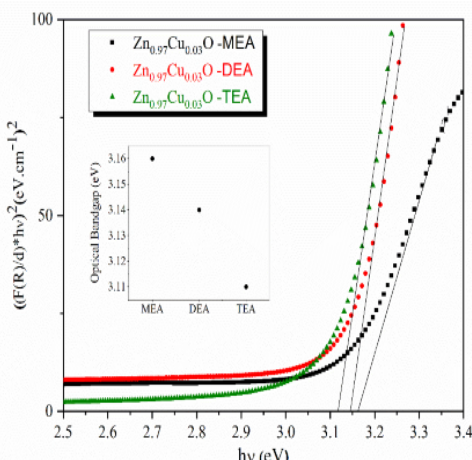
1- Urbach Tail

2- Kubelka-Munk

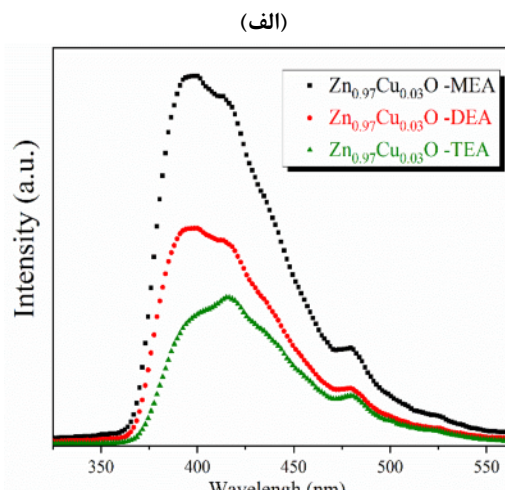
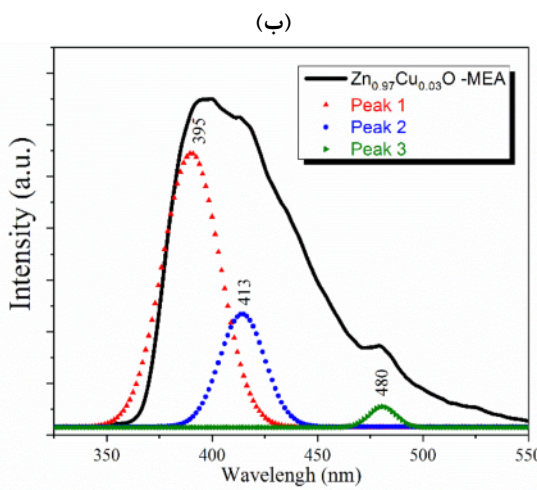
3- Tauc

بازترکیب تهی‌جاهای دوبار یونیده با الکترون‌های برانگیخته‌شده‌ی نوار رسانش پرتویی در این ناحیه منتشر می‌کند. این قله در نمونه تهیه‌شده با تری‌اتانول آمین به سمت طول‌موج‌های بلندتر جابه‌جاشده و با کاهش گاف نواری آن همخوانی دارد. از سویی، شدت نسبی گسیل آن نسبت به گسیل مرئی کاهش می‌یابد که نشانه افزایش چگالی نقص‌های شبکه است [۲۸]. قله مربوط به  $413\text{ nm}$  که در هر سه نمونه با شدت‌های مختلف دیده می‌شود به انتقال الکترون از جایگاه روی درون شبکه‌ای به نوار ظرفیت اشاره دارد. همچنین قله در  $480\text{ nm}$  مربوط به انتقال الکترون از نوار رسانش به تهی‌جای روی است [۲۹].

با طول موج برانگیختگی  $300\text{ nm}$  قرار گرفتند. چنان که دیده می‌شود، نمونه تهیه‌شده با MEA بیشترین شدت گسیل در قله‌های نورتابی را از خود نشان می‌دهد که با افزایش گروه آمین از شدت قله‌های PL کاسته می‌شود. در شکل ۹ ب، طیف نورتابی نمونه تهیه شده با MEA توسط برآذش گاووسی به سه قله تفکیک شد. نوارهای گسیل در ناحیه UV و مرئی دیده می‌شوند. قله موجود در طول موج  $395\text{ nm}$  مربوط به گسیل نزدیک لبه نوار (NBE) و ناشی از بازترکیب اکسیتیون‌هاست [۲۸]. با برانگیخته شدن الکترون از نوار ظرفیت به نوار رسانش، یک حفره ایجاد می‌شود. این حفره فعال توسط تهی‌جاهای اکسیژن جذب‌شده و یک تهی‌جای دوبار یونیده تولید می‌کند.



شکل ۸ (الف) طیف بازتاب پخشی و (ب) نمودار تعیین گاف نواری نانوذرات  $\text{Zn}_{0.97}\text{Cu}_{0.03}\text{O}$  تهیه‌شده با پایدارسازهای مونو-، دی- و تری- اتانول آمین.



شکل ۹ (الف) طیف نورتابی نانوذرات  $\text{Zn}_{0.97}\text{Cu}_{0.03}\text{O}$  تهیه شده با پایدارسازهای آمینوالکلی، (ب) برآذش گاووسی قله‌های نورتابی نانوذرات  $\text{Zn}_{0.97}\text{Cu}_{0.03}\text{O}$  تهیه‌شده با پایدارساز مونو اتانول آمین.

- oxide nanorods for polymer solar cells application", Iranian Journal of Crystallography and Mineralogy 25 (4) (2018) 885-894.*
- [4] Yuonesi M., Izadifard M., Ghazi M. E., Esmaili Ghodsi F., *Influence of Co and Fe substitution on optical and structural properties of zinc oxide thin films* Iranian Journal of Crystallography and Mineralogy 19 (3) (2011) 65-72.
- [5] Zargar Shoushtari M., Poormoghadam A., Farbod M., *Fabrication and study of structural, optical and magnetic properties of  $Zn_{1-x}Ni_xO$  nanoparticles", Iranian Journal of Crystallography and Mineralogy 24 (2) (2016) 309-316.*
- [6] Sarraf N., Hasanpour A., Hashemizade Aghda A., Akhound A., *Investigation of room temperature ferromagnetic behavior in Mn doped ZnO nanoparticles", Iranian Journal of Crystallography and Mineralogy 23 (2) (2015) 383-388.*
- [7] Nimbalkar A.R., Patil M.G., *Synthesis of highly selective and sensitive Cu-doped ZnO thin film sensor for detection of  $H_2S$  gas", Materials Science in Semiconductor Processing 71 (2017) 332-341.*
- [8] Yang S., Zhang Y., Mo D., *Spectroscopic ellipsometry studies of sol-gel-derived Cu-doped ZnO thin films", Thin Solid Films 571 (2014) 605-608.*
- [9] Joshi K., Rawat M., Gautam S.K., Singh R.G., Ramola R.C., Singh F., *Band gap widening and narrowing in Cu-doped ZnO thin films", Journal of Alloys and Compounds 680 (2016) 252-258.*
- [10] Lupon O., Pauporte T., Viana B., Aschheoug P., *Electrodeposition of Cu-doped ZnO nanowire arrays and heterojunction formation with p-GaN color tunable light emitting diode applications", Electrochimica Acta 56 (2011) 10543-10549.*
- [11] Fang M., Tang C.M., Liu Z.W., *Microwave-assisted hydrothermal synthesis of Cu-doped ZnO single crystal nanoparticles with modified photoluminescence and confirmed ferromagnetism", Journal of Electronic Materials 47 (2018) 1390-1396.*
- [12] Giraldi T.R., Santos G.V.F., Mendonca V.R., Ribeiro C., Weber I.T., *Effect of synthesis parameters on the structural characteristics and*

### برداشت

نانوذرات اکسید روی آلاییده با مس به روش سل-ژل با استفاده از سه پایدارساز آمینوالکل متفاوت تهیه شدند و ویژگی‌های ساختاری، ریخت شناسی و اپتیکی آن‌ها بررسی شد. الگوی پراش پرتو ایکس ساختار ششگوشی ورتسایت اکسید روی را برای هر سه نمونه تایید کرد. تغییر پایدارسازها منجر به تغییر اندازه بلورک‌ها و پارامترها شدکه شد، به طوری که نمونه تهیه شده با مونواتانول آمین کوچک‌ترین اندازه بلورک را دارد. تنش، کرنش و چگالی انرژی تغییر شکل شبکه نانوذرات با افزایش گروه آمین در سل اولیه افزایش یافت. تصاویر میکروسکوپ الکترونی روبشی گسیل میدانی نانو ذرات شبکه کروی را نشان می‌دهد و نمونه تهیه شده با تریاتانول آمین کمترین انباشتگی دارد. بررسی‌های FTIR و EDS به ترتیب حضور گروه‌های عاملی (پیوندهای شیمیایی O) و اتم‌های روی و مس را برای هر سه نمونه تایید می‌کردند. نتایج به دست آمده از طیف بازتاب پخشی نشان داد که نمونه‌های تهیه شده با تریاتانول آمین و مونواتانول آمین به ترتیب دارای کمترین و بیشترین مقدار گاف نواری هستند. طیف‌های نورتابی نمونه‌ها نشان داد که هر سه نمونه دارای گسیل آبی در گستره مرئی هستند که قله‌های گسیلی ناشی از بازترکیب اکسیتونی و نواصص ذاتی موجود در ساختار هستند. با تغییر پایدارساز از مونو - به تریاتانول آمین، شدت قله‌ها کاهش می‌یابد. با افزایش گروه‌های آمین (تغییر از مونواتانول آمین به تریاتانول آمین) در تهیه نانوذرات، قله گسیلی نزدیک لبه نواری مربوط به بازترکیب اکسیتونی به سمت طول موج‌های بالاتر جابه‌جا شد که با کاهش گاف نواری محاسبه شده از طیف بازتاب پخشی همخوانی دارد.

### مراجع

- [1] Jagadish C., Pearton SJ., "Zinc Oxide Bulk, Thin Films and Nanostructures: Processing, Properties, and Applications", Elsevier New York, 2006.
- [2] Deshwal M., Arora A., *Enhanced acetone detection using Au doped ZnO thin film sensor", Journal of Materials Science: Materials in electronics 29 (2018) 15315-15320.*
- [3] Naderi M., Zargarshoshtari M., Kazeminejad I., *Investigation of precursor solution concentration effect on morphology and optical properties of zinc*

- [21] Khorsand Zak A., Abd. Majid W.H., Abrishami M.E., Yousefi R., *X-ray analysis of ZnO nanoparticles by WilliamsoneHall and sizeestrain plot methods*, Solid State Science 13 (2011) 251-256.
- [22] Vajargah P.H., Abdizadeha H., Ebrahimifarda R., Golobostanfar M.R., *Sol-gel derived ZnO thin films: Effect of amino-additives*, Applied Surface Science 285 (2013) 732– 743.
- [23] Forouzani M., Mardani H.R., Ziari M., Malekzadeh A., Biparva P., *Comparative study of oxidation of benzyl alcohol: Influence of Cu-doped metal cation on nano ZnO catalytic activity*, Chemical Engineering Journal 275 (2015) 220-226.
- [24] Burstein E., "Anomalous optical absorption limit in InSb", Physical Review Journals Archive 93 (1954) 632-633.
- [25] Choudhury B., Choudhury A., *Tailoring luminescence properties of TiO<sub>2</sub> nanoparticles by Mn doping*, Journal of Luminescence 136 (2013) 339–346.
- [26] Tauc J., Amorphous and Liquid Semiconductors, Plenum Press, New York, 1974.
- [27] Prasada Rao T., Santhosh Kumar M.C., Anbumozhi Angayarkanni S., Ashok M., *Effect of stress on optical band gap of ZnO thin films with substrate temperature by spray pyrolysis*, Journal of Alloys and Compounds 485 (2009) 413-417.
- [28] Monemdjou A., Ghodsi F.E., Mazloom J., *The effects of surface morphology on optical and electrical properties of nanostructured AZO thin films: fractal and phase imaging analysis*, Superlattices Microstruct. 74 (2014) 19–33.
- [29] Oliva J., Torres L.D., Castro A.T., Salas P., Mayen L.P., Rosa E.D.L., *Effect of TEA on the blue emission of ZnO quantum dots with high quantum yield*, Optical Materials Express 5 (2015) 1109-1121.
- photocatalyticactivity of ZnO", Materials Chemistry and Physics* 136 (2012) 505-511.
- [13] Kumar K.D.A, Ganesh V., Shkir M., AlFaify S., Valanarasu S., *Effect of different solvents on the key structural, optical and electronic properties of sol-gel dip coated AZO nanostructured thin films for optoelectronic applications*, Journal of Materials Science: Materials in electronics 29 (2018) 887–897.
- [14] Winer I., Shter G.E., Lahav M.M, Grader G.S., *Effect of solvents and stabilizers on sol-gel deposition of Ga-doped zinc oxide TCO films*, Journal of Materials Research 26 (2011) 1309-1315.
- [15] Bekkari R., Laanab L., Boyer D., Mahiou R., Jaber B., *Influence of the sol gel synthesis parameters on the photoluminescence properties of ZnO nanoparticles*, Materials Science in Semiconductor Processing 71 (2017) 181-187.
- [16] Sakka S., Handbook of Sol-Gel Science and Technology Processing Characterization and Applications 1st Edition, Springer.
- [17] Thongsuriwong K., Amornpitoksuk P., Suwanboon S., *The effect of aminoalcohols (MEA, DEA and TEA) on morphological control of nanocrystalline ZnO powders and its optical properties*, Journal of Physics and Chemistry of Solids 71 (2010) 730–734.
- [18] Elilarassi R., Sambasiva Rao P., Chandrasekaran G., *Diluted magnetic semiconductor properties in Zn<sub>1-x</sub>Cu<sub>x</sub>O nanoparticles synthesized by sol gel route*, Journal of Sol-Gel Science and Technology, 57 (2011) 101-108.
- [19] Koao L.F., Dejene B.F., Swart H.C., *The effect of Cu<sup>2+</sup> on structure, morphology and optical properties of flower-like ZnO synthesized using the chemicalbath deposition method*, Journal of Physica B 439 (2014) 173–176.
- [20] Labhane P. K., Huse V. R., Patle L. B., Chaudhari A. L., Sonawane G. H., *Synthesis of Cu Doped ZnO Nanoparticles: Crystallographic, Optical, FTIR, Morphological and Photocatalytic Study*, Journal of Materials Science and Chemical Engineering 3 (2015) 39-51.